

ศึกษาและเปรียบเทียบอุณหภูมิของแผงขยายพิล์มน้ำชนิดต่างๆ ในหอผึ้งน้ำเย็น

Study and Compare the Temperature of the Water Film in the Cooling Tower

บันฑิต อินทรีย์มีศักดิ์¹, พิพัฒน์ เลิศโกวิทย์² และ บันฑิต อินทรีย์มีศักดิ์*

¹ คณะวิศวกรรมศาสตร์ มหาวิทยาลัยธนบุรี 248 เพชรเกษม 110 เขตหนองแขม แขวงหนองค้างพลู กรุงเทพฯ 10160

² คณะวิศวกรรมศาสตร์ มหาวิทยาลัยธนบุรี 248 เพชรเกษม 110 เขตหนองแขม แขวงหนองค้างพลู กรุงเทพฯ 10160

*ติดต่อ: Bundit086@hotmail.com, 086-666-9129

บทคัดย่อ

งานวิจัยนี้จัดทำเพื่อศึกษาและเปรียบเทียบอุณหภูมิของชุดแผงขยายพิล์มน้ำชนิดต่างๆ ในหอผึ้งน้ำเย็นโดยมีวัสดุที่ใช้มาทำเป็นชุดแผงขยายพิล์มน้ำทั้งหมด 5 ชนิดประกอบด้วย พีวีซีพิลิ่ง พีวีซีไบโอบอล พีวีซีแฟเนเรียบ, ไม้สักและไม้จำปา ซึ่งวัสดุทั้งหมดนี้มีคุณสมบัติแตกต่างกันออกไปแล้วนำมาทำการจัดเรียงใส่ถังที่มีขนาด 200×200 มิลลิเมตร สูง 600 มิลลิเมตร ซึ่งมีอุปกรณ์ดังนี้ไว้ที่ส่วนบนและล่างของถังเพื่อใช้วัดความดันแตกต่างของทั้งสองจุด ทำการจัดเรียงวัสดุในถังทดลองโดยให้วัสดุแต่ละชนิดมีปริมาตรที่เท่ากันแล้วทำการทดลองวัดค่าและเปรียบเทียบอุณหภูมิที่ลดลงของวัสดุที่ใช้ทำชุดแผงขยายพิล์มน้ำโดยทำการทดลองที่อัตราการไหล 1.8, 2.4, 3, 4.5 และ 6 ลิตรต่อนาที ตามลำดับแล้วบันทึกผลที่ได้ลงในตารางบันทึกผลการทดลอง

ผลการทดลองชุดแผงขยายพิล์มน้ำทั้ง 5 ชนิดพบว่าชุดแผงขยายพิล์มน้ำที่ทำจากไม้จำปาสามารถกระจายน้ำได้ดีและสามารถลดอุณหภูมิความร้อนของน้ำได้ถึง 15.8 องศาเซลเซียส ที่อัตราการไหล 1.8 ลิตรต่อนาที และอัตราการสูญเสียน้ำในระบบที่อัตราการไหลสูงสุดเท่ากับ 1.85 เปอร์เซ็นต์

คำหลัก: แผงขยายพิล์มน้ำ หอผึ้งน้ำเย็น อุณหภูมิ

Abstract

The purpose of this research is to study and compare the temperature of various types of the films in cooling tower. The five materials, utilized as the films, were PVC film, PVC bio ball, flat PVC sheet, teakwood and rain tree wood. These materials have different characteristics and they were arranged in a tank having the dimensions of $200 \times 200 \times 600$ mm. The tank was equipped with pressure gauges at top and bottom of the tank to measure the different pressure of the two positions. The materials were arranged in the test tank with equal volume. Afterwards, measure the value and compare the decreased temperature of the materials utilized as the films. The test was conducted at the flow rate of 1.8, 2.4, 3, 4.5 and 6 liter per minute respectively and the results were recorded in the test results table.

The test result of the five materials utilized as the films is found that the film, which is made of the rain tree wood, is able to expand the water film quite well and able to decrease the temperature of water 15.8 degree Celsius at the flow rate of 1.8 liter per minute and the rate of drift loss at the maximum flow rate is equivalent to 1.85 %.

Keywords: Film, Cooling Tower, Temperature

ETM-08

1. บทนำ

ในกระบวนการผลิตของอุตสาหกรรมต่างๆ ส่วนหนึ่งของกระบวนการจะเกิดความร้อนขึ้น ซึ่งความร้อนส่วนเกินนี้จะต้องถูกระบายน้ำทิ้ง และแหล่งรับความร้อนสุดท้ายที่รับความร้อนทิ้งได้แก่ บรรยายกาศ อุปกรณ์แลกเปลี่ยนความร้อนที่ระบบความร้อนสู่บรรยายกาศ แยกได้เป็นสองส่วน แบ่งตามหลักการถ่ายเทความร้อน ได้แก่ การส่งอากาศเข้าไปรับความร้อน โดยอาศัยหลักการถ่ายโอนความร้อนสัมผัส (Sensible Heat) ซึ่งอากาศที่เข้าไปรับความร้อนจะมีความแตกต่างระหว่างอุณหภูมิของอากาศและสารที่เป็นตัวกลางในระบบความร้อน ตัวอย่างได้แก่ แอร์คูลคอนเดนเซอร์ (Air Cooled Condenser) ข้อจำกัดของอุปกรณ์นี้ คือ การถ่ายเทความร้อนจะมีประสิทธิภาพค่อนข้างต่ำ ทำให้ขนาดของอุปกรณ์มีขนาดที่ใหญ่ ใช้พื้นที่ในการติดตั้งมากและราคาสูง แบบที่สองเป็นอุปกรณ์แลกเปลี่ยนความร้อนโดยใช้หลักการถ่ายโอนความร้อนแบบความร้อนสัมผัส (Sensible Heat) และความร้อนแฝง (Latent Heat) รวมกันอุปกรณ์ดังกล่าวได้แก่ หอทำความเย็น (Cooling Tower) ซึ่งจะมีประสิทธิภาพการถ่ายเทความร้อนสูงกว่าข้อดีของการถ่ายเทความร้อนสูง มีขนาดเล็กเมื่อเทียบกับแบบแรก

ผู้วิจัยจึงได้คิดศึกษาชุดແงขายายฟิล์มน้ำของหอทำความเย็น ซึ่งเป็นตัวแปลงที่ช่วยระบายน้ำทิ้งได้ดีที่สุด โดยทำการทดลองวัดดูของชุดແงขายายฟิล์มน้ำ 5 ชนิด คือ 1. PVC Filling 2. ไบโอบอล (Bioball) 3. ไม้จำลา 4. ไม้สัก 5. PVC แบบเรียบ เพื่อทำการเปรียบเทียบการลดอุณหภูมิของวัสดุทั้ง 5 ชนิด และนำไปใช้ในโรงงานอุตสาหกรรม

2. วัตถุประสงค์

- 2.1 เพื่อศึกษาเปรียบเทียบการลดอุณหภูมิของวัสดุ 5 ชนิด ที่ใช้ทำชุดແงขายายฟิล์มน้ำ
- 2.2 เพื่อนำวัสดุ 5 ชนิด จัดทำชุดແงขายายฟิล์มน้ำ
- 2.4 เพื่อศึกษาวัสดุที่มีราคาถูกนำมาใช้ทำชุดແงขายายฟิล์มน้ำสำหรับชุด Cooling Tower

3. ขอบเขตของงานวิจัย

- 3.1 ทดสอบวัสดุที่ใช้ทำແงขายายฟิล์มน้ำ 5 ชนิด
- 3.2 мотเตอร์บีมัน้ำใช้กระแสไฟฟ้า 220 Volt
- 3.3 อัตราการไหลของน้ำที่ใช้ทดลองสูงสุดอยู่ที่

6 L/min

3.4 อัตราการไหลของอากาศที่ใช้ในการทดลอง เปิดที่ 100%

4. ประโยชน์ที่คาดว่าจะได้รับ

4.1 สามารถเปรียบเทียบการลดอุณหภูมิของวัสดุ 5 ชนิด ที่ใช้ทำชุดແงขายายฟิล์มน้ำได้

4.2 สามารถนำวัสดุ 5 ชนิด จัดทำชุดແงขายายฟิล์มน้ำได้

4.3 สามารถนำวัสดุที่มีราคาถูกมาทำชุดແงขายายฟิล์มน้ำใช้กับชุด Cooling Tower ได้

5. ทฤษฎีและงานวิจัยที่เกี่ยวข้อง

Cooling Tower คือระบบสำคัญในกระบวนการลดความร้อนของน้ำที่มีอุณหภูมิสูงซึ่งระบบของ Cooling ขนาดกลางใช้สำหรับ Plant ทำความเย็นหรือโรงงานอุตสาหกรรมในบรรยายกาศอากาศจะผ่าน Tower โดยที่น้ำอุ่นจะถูก Spray จากทางด้านบนของ Tower ลงมาสู่ Packing ลำน้ำจะแตกออกและเป็นไอของละอองน้ำซึ่งจะทำให้เพิ่มพื้นที่สัมผัสอากาศ และอุณหภูมิสัมบูรณ์ของน้ำจะลดลง

5.1 ทฤษฎีที่ใช้ในชุดทดลอง Cooling Tower

ณ พื้นที่หน้าตัด 1 ด้านอากาศเข้า (รูปที่ 2.1) เราจะได้

$$P_{s1} = \phi_1 P_{g1} \quad (1)$$

เมื่อ ϕ_1 = ความชื้นสัมพัทธ์ของอากาศผสมที่เข้า Tower (%)

P_{s1} = Partial Pressure จริงของไอละออง ณ จุดพื้นที่หน้าตัด

P_{g1} = Partial Pressure อิมตัวของไอละออง ณ จุดพื้นที่หน้าตัด 1

จากกฎของกําชอุดมคติจะได้

$$M_{s1} = \frac{P_{s1}V}{R_s T} \quad (2)$$

เมื่อ M_{s1} = มวลของไอละอองน้ำ ณ จุดพื้นหน้าตัด 1

V = ปริมาตรของอากาศผสมระหว่างอากาศแห้งกับไอละอองน้ำ

ETM-08

$$R_s = \text{ค่าคงที่ของกําชสําหารับไอละองนํา}$$

$$T = \text{อุณหภูมิสัมบูรณ์ของอากาศผสม}$$

ระหว่างอากาศแห้งกับไอละองนํา

ในทำนองเดียวกัน สำหรับอากาศแห้ง

$$m_{a1} = \frac{(P - P_{s1})V}{R_a T} \quad (3)$$

เมื่อ m_{a1} = มวลของอากาศแห้ง ณ จุด

พื้นที่หน้าตัดที่ 1

P = ความดันรวม

R_a = ค่าคงที่ของกําชสําหารับอากาศแห้ง

ณ จุดพื้นที่หน้าตัดที่ 2 ด้านอากาศออก ถ้าอากาศผสมออกจาก Cooling Tower ในสภาพอิ่มตัวเราก็จะได้

$$P_{s2} = P_{g2} \quad (4)$$

เมื่อ P_{s2} = Partial Pressure จริงของไอละอง ณ จุดพื้นที่หน้าตัด 2

P_{g2} = Partial Pressure อิ่มตัว ของไอละอง ณ จุดพื้นที่หน้าตัด 2

โดยคำจำกัดความของ Moisture Content (Specific Humidity) จะได้

$$W_2 = 0.622 \frac{P_{s2}}{P - P_{s2}} \quad (5)$$

เมื่อ W_2 เป็น Specific Humidity ของอากาศผสม ณ จุดพื้นที่หน้าตัด 2 ในขณะที่อากาศจาก Cooling Tower ในสภาพอิ่มตัวจะได้

$$m_{a2} = m_{a1} \quad (6)$$

มวลของไอละองนํา ณ จุดพื้นที่หน้าตัด 2

$$m_{s2} = W_2 m_{a1} \quad (7)$$

ดังนั้นอัตราการระเหยของนํา (m_e) สามารถคำนวณได้จาก

$$m_e = m_{s2} - m_{s1} \quad (8)$$

จาก First law of Thermodynamics โดยไม่คำนึงถึงการเปลี่ยนแปลงของ Kinetic Energy และการ

สูญเสียความร้อนจาก Cooling Tower ให้แก่อากาศ ล้อมรอบ ก็จะได้

$$m_{a2} h_{a2} + m_{s2} h_{s2} + m_{w4} h_{w4} = m_{a1} h_{a1} + m_{s1} h_{s1} + m_{w3} h_{w3} \quad (9)$$

หรืออีกนัยหนึ่ง

$$\begin{aligned} m_a C_{pa}(t_2 - t_1) + (m_{s2} h_{s2} - m_{s1} h_1) \\ + (m_{w4} h_{w4} - m_{w3} h_{w3}) = 0 \end{aligned} \quad (10)$$

จากกฎของการอนุรักษ์มวล

$$m_{a2} + m_{w4} = m_{a1} + m_{w3} \quad (11)$$

เมื่อ m_{w3} และ m_{w4} เป็นอัตราการไหลของมวลน้ำ ไหลเข้าและไหลออกจาก Cooling Tower ตามลำดับ

$$h_{s1} = h_{g1} + C_{ps}(t_1 - t_{g1}); C_p = 1.86 \frac{KJ}{KGK} \quad (12)$$

h_{s1} = Enthalpy ของไอละองนํา ณ พื้นที่หน้าตัด 1

h_{s2} = Enthalpy ของไอละองนํา ณ พื้นที่หน้าตัด 2

$$(h_{a2} = h_{s2})$$

h_{w3} = Enthalpy ของนํา ณ พื้นที่หน้าตัด 3 น้ำเข้า

$$(h_{w3} = h_{t3})$$

h_{w4} = Enthalpy ของนํา ณ พื้นที่หน้าตัด 3 น้ำออก

$$(h_{w4} = h_{t4})$$

Loss Ratio โดยการละเหยสามารถคำนวณได้จาก

$$\frac{m_{s2} - m_{s1}}{m_{w3}}$$

จากทฤษฎีที่ใช้ในชุดทดลอง Cooling Tower ที่ได้กล่าวมาแล้วนั้นจะได้พื้นที่หน้าตัดต่างๆ ดังรูปที่ 1 เมื่อ

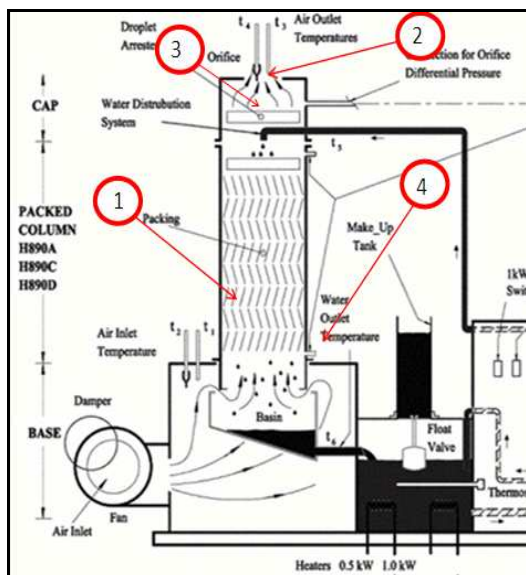
1 คือ พื้นที่หน้าตัดที่ 1 (h_{s1})

2 คือ พื้นที่หน้าตัดที่ 2 (h_{s2})

3 คือ พื้นที่หน้าตัดที่ 3 (h_{w3})

4 คือ พื้นที่หน้าตัดที่ 4 (h_{w4})

ETM-08



รูปที่ 1 ชุดทดลอง Cooling Tower

6. วิธีการดำเนินงาน

ศึกษารวบรวมข้อมูลและทำการออกแบบการทดลองพร้อมจัดเตรียมวัสดุและอุปกรณ์เพื่อทดลอง วิเคราะห์ผล เปรียบเทียบผลก่อนและหลังการทดลอง ระยะเวลาในการทำงานวิจัย เริ่มจากเดือนมิถุนายน 2556 ถึงเดือนเมษายน 2557 เป็นเวลา 11 เดือน

6.1 อุปกรณ์การทดลอง

วัสดุใช้ทำชุดแพงขยายพิล์มน้ำมี 5 ชั้น ได้แก่

- PVC Filling เป็นชนิดที่มีใช้ทั่วไปในโรงงานอุตสาหกรรมดังรูปที่ 2



รูปที่ 2 แพงขยายพิล์มน้ำชั้น 5 PVC Filling

- ไบโอบอล (Bioball) เป็นวัสดุที่ทำมาจาก PVC ที่มีรูปทรงแตกต่างไปจากวัสดุที่มีใช้ทั่วไปดังรูปที่ 3



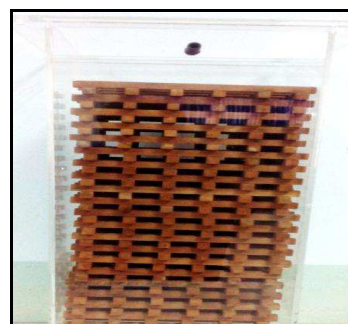
รูปที่ 3 ไบโอบอล (Bioball)

- ไม้จำปา เป็นวัสดุจากธรรมชาติ หรือเป็นของเหลวใช้จากโรงงานอุตสาหกรรมดังรูปที่ 4



รูปที่ 4 ไม้จำปา

- ไม้สัก สีเหลืองทอง ถึงสีน้ำตาลแก่ มีลายเป็นเส้นสีน้ำตาลแก่แทรก เสี้ยนตรง เนื้อหยาบ แข็งปานกลาง เลือยใสกับ ตอบแต่งง่ายดังรูปที่ 5



รูปที่ 5 ไม้สักที่ใช้ในการทดลอง

- PVC แบบเรียบ เป็นชุดแพงขยายพิล์มน้ำที่ทำมาจาก PVC นำมาเรียงสลับกันเป็นชั้นในถังทดลองดังรูปที่ 6

ETM-08

รูปที่ 6 PVC แผ่นเรียบ

ชุดทดลอง Cooling Tower เป็นเครื่องสำหรับทดสอบชุดแพลงขยายพิล์มน้ำทั้ง 5 ชนิด ประกอบด้วย PVC Filling, PVC ไบโอบอล, ไม้สัก, ไม้จำปาและ PVC แผ่นเรียบ ซึ่งจัดเรียงให้อยู่ใน Tank ขนาดความกว้างใน 200 x 200 mm. สูง 600 mm. ดังรูปที่ 7



รูปที่ 7 ชุดทดลอง Cooling Tower

7. วิธีการทดลอง

เปิดเครื่องทำความร้อนตั้งอุณหภูมิที่ 30 องศาเซลเซียส เมื่ออุณหภูมิได้ตามต้องการ จึงเปิดพัดลมและควบคุมอัตราการไหลของอากาศโดยใช้ Damper และปรับอัตราการไหลของน้ำที่ 1.8, 2.4, 3, 4.5, 6 LPM พร้อมทดสอบชุดแพลงขยายพิล์มน้ำทั้ง 5 ชนิด เพื่อหาอุณหภูมิต่างของวัสดุและปริมาณน้ำที่ลดลง

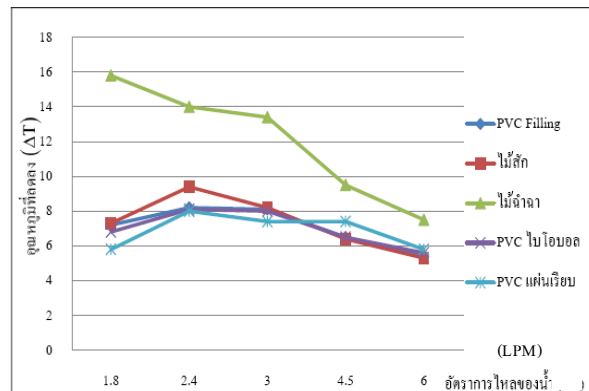
8. ผลการทดลอง

ตารางผลการทดลองของวัสดุทั้ง 5 ชนิด สามารถเปรียบเทียบอุณหภูมิที่ลดลงของน้ำร้อนโดยผ่านชุดแพลงขยายพิล์มน้ำ 5 ชนิด (ΔT) ดังตารางที่ 1

ตารางที่ 1 ตารางเปรียบเทียบอุณหภูมิที่ลดลงของแพลงขยายพิล์มน้ำแต่ละชนิด (ΔT)

อัตราการ ไหลของน้ำ (LPM)	PVC Filling	PVC ไบโอบอล	PVC แผ่น เรียบ	ไม้สัก	ไม้ จำปา
1.8	7.2	6.8	5.8	7.3	15.8
2.4	8.2	8.1	8	9.4	14
3	8.1	8	7.4	8.2	13.4
4.5	6.5	6.5	7.4	6.4	9.5
6	5.4	5.6	5.8	5.3	7.5

จากตารางที่ 1 แสดงในรูปกราฟความสัมพันธ์ระหว่างอัตราการไหลของน้ำกับอุณหภูมิที่ลดลงของน้ำ (ΔT) ที่ไหลผ่านชุดแพลงขยายพิล์มน้ำของแต่ละชนิดดังรูปที่ 8



รูปที่ 8 กราฟแสดงความสัมพันธ์ระหว่างอัตราการไหลของน้ำกับอุณหภูมิที่ลดลงของน้ำ

จากรูปที่ 8 เป็นกราฟแสดงความสัมพันธ์ระหว่างอัตราการไหลของน้ำกับอุณหภูมิที่ลดลงของน้ำที่ผ่านชุดแพลงขยายพิล์มน้ำ 5 ชนิด ซึ่งนำค่า�้ำร้อนเข้าลบกับค่า�้ำเย็นออก เมื่อผ่านกระบวนการทั้งหมดจะได้ค่าการลดลงของอุณหภูมน้ำ (ΔT) และนำค่าที่ได้ทั้งหมดมาเปรียบเทียบเป็นกราฟ

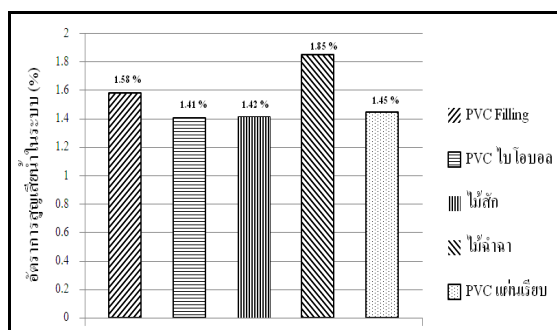
ตารางแสดงอัตราการสูญเสียน้ำในระบบที่ได้จากการคำนวณที่อัตราการไหลของน้ำสูงสุดที่ 6 L/min ของวัสดุทั้ง 5 ชนิด คิดเป็นเปอร์เซ็นต์ (%) ดังแสดงในตารางที่ 2

ETM-08

ตารางที่ 2 ตารางเปรียบเทียบอัตราการสูญเสียน้ำในระบบ

ชนิดของแพลงก์น้ำ	อัตราการสูญเสียน้ำในระบบ (%)
PVC Filling	1.58
PVC ไบโอบอล	1.41
ไม้สัก	1.42
ไม้จำปา	1.85
PVC แผ่นเรียบ	1.45

จากตารางที่ 2 ค่าที่ได้จากการคำนวณหาอัตราการสูญเสียน้ำในระบบนำมาแสดงให้อยู่ในรูปของกราฟแสดงความสัมพันธ์ระหว่างชนิดของแพลงก์น้ำกับการสูญเสียน้ำในระบบ ดังรูปที่ 9



รูปที่ 9 กราฟแสดงความสัมพันธ์ระหว่างชนิดของแพลงก์น้ำกับการสูญเสียน้ำในระบบ

จากรูปที่ 9 เป็นกราฟแสดงความสัมพันธ์ระหว่างชนิดของแพลงก์น้ำกับการสูญเสียน้ำในระบบ เป็นค่าที่ได้จากการคำนวณของอัตราการไหลสูงสุดที่ 6 LPM ของวัสดุทั้ง 5 ชนิด คิดเป็นเปอร์เซ็นต์การสูญเสียน้ำ (%) และนำมาเปรียบเทียบให้อยู่ในรูปของกราฟ

9. สรุปผลการทดลอง

ผลการทดลองแพลงก์น้ำ 5 ชนิด คือ PVC Filling, PVC ไบโอบอล, ไม้สัก, ไม้จำปา, PVC แผ่นเรียบ ที่อัตราการไหลต่างๆ พบร่วมกับไม้จำปา มีการระบายน้ำร้อนออกจากน้ำได้ดีที่สุด ที่อุณหภูมน้ำเข้า 38.2 องศาเซลเซียส อุณหภูมน้ำออก 32.9 องศาเซลเซียสลดลง 5.3 องศาเซลเซียส เพราะเป็นไม้เนื้ออ่อนน้ำ

สามารถเข้าเนื้อไม้ทำให้เพิ่มพื้นที่ในการระบายน้ำร้อนของน้ำได้ดีขึ้น

10. ข้อเสนอแนะ

การออกแบบชุดแพลงก์น้ำควรจัดเรียงให้มีความหนาแน่นมากพอสมควร เพราะจะเป็นตัวช่วยลดให้น้ำร้อนแตกสลายได้รับน้ำซั่ลงและมวลของน้ำร้อนจะมีเวลาถ่ายเทความร้อนอากาศได้มากขึ้น และชุดแพลงก์น้ำไม่ควรจัดทำให้มีน้ำหนักมากเกินไปจะทำให้แห้งพังลงมาได้ หรือต้องการทำแห้งให้แข็งแรงมากขึ้น

11. กิตติกรรมประกาศ

งานวิจัยนี้สำเร็จลุล่วงได้ด้วยความกรุณาเป็นอย่างยิ่งจากมหาวิทยาลัยธนบุรี เอื้อเพื่อสถานที่และชุดทดลอง Cooling Tower ในการทำงานวิจัยนี้

12. เอกสารอ้างอิง

- [1] สุนันท์ ศรัณยนนิตย์. 2545. ทฤษฎีการถ่ายโอนความร้อน. การถ่ายเทความร้อน. พิมพ์ครั้งที่ 1. กรุงเทพฯ : สมาคมส่งเสริมเทคโนโลยี (ไทย-ญี่ปุ่น).
- [2] กษิตร์เดช ทีมปุญญพัฒน์. 2556. นำบทบาทสำคัญในระบบสนับสนุนการผลิตอาหาร
- [3] อนันต์ พ่องลมูล. 2549. การออกแบบหอทำน้ำเย็น ชนิดดูดแบบไฮดรอลิกสำหรับอุตสาหกรรม. วิทยานิพนธ์มหาบัณฑิต ภาควิชาวิศวกรรมเครื่องกล บัณฑิตวิทยาลัย มหาวิทยาลัยเกษตรศาสตร์.
- [4] Cengel, Yunus A.,and Boles, Michael A. 2547. แปลโดย สมชัย อัครทิวา และขวัญจิต วงศ์ชารี. “ตาราง A-4 น้ำอีมตัว-อุณหภูมิ. เทอร์โมไดนามิกส์. กรุงเทพฯ : สำนักพิมพ์หอป.”
- [5] EI –Wakil,M.M., 1984. “Appendix Psychrometric Chart.” In Powerplant Technology. pp. 821. New York : McGraw-Hill.
- [6] เอสซอม,บริษัท.“ชุดสาธิตการทำงานของหอทำน้ำเย็น. คู่มือใช้งานและการทดลอง. กรุงเทพฯ: เอสซอม.”